

**ТЕОРИЯ УЗКИХ U-ОБРАЗНЫХ ВЫРЕЗОВ  
В ЛИНЕЙНОЙ МЕХАНИКЕ РАЗРУШЕНИЯ**

Ю.Н. Овчаренко

ovcharenkos@rambler.ru

ТулГУ, Тула, Российская Федерация

**Аннотация**

На основе линейной механики разрушения получен полный набор асимптотических формул для описания напряженно-деформированного состояния у вершины узкого U-образного выреза. Такой вид дефекта способна иметь трещина, которая подверглась коррозионному воздействию среды, или трещиноподобный дефект в сварном соединении (непровар, подрез), узкая прорезь в детали. Для сравнительной оценки опасности трещинообразования в вершинах узких U-образных вырезов, а также для выявления мест и направления инициации разрушения показана возможность использования таких энергетических критериев, как плотность энергии деформации  $W_{\sigma}$  и  $W_{\tau}$ . Ранее указанные критерии были предложены автором настоящей работы для классических трещин-разрезов. Здесь на основе сингулярных решений линейной механики разрушения проведено исследование напряженно-деформированного состояния в терминах  $W_{\sigma}$  и  $W_{\tau}$  около вершин предельно узких U-образных вырезов (*blunt cracks*) в сравнении с классическими трещинами-разрезами

**Ключевые слова**

*Линейная механика разрушения, узкий U-образный вырез, плотность энергии деформации, mode I, mode II*

Поступила 29.03.2019

Принята 08.10.2020

© Автор(ы), 2021

**Введение.** В настоящее время существует значительное число как теоретических, так и экспериментальных работ, посвященных изучению напряженно-деформированного состояния тел с U-образными вырезами с большими или малыми радиусами  $\rho$  у вершины. Проведем краткий обзор по рассматриваемой тематике.

Современной технике требуется максимальное уменьшение веса конструкций и сооружений. Возможность осуществления этого требования тесно связана с точным знанием действительного распределения напряжений в частях конструкций и сооружений. Без этого надежный расчет на прочность невозможен. Однако точное определение напряжений

в телах сложной формы является весьма трудной задачей. Как правило, она решается экспериментально и в основном на соответствующих моделях тел. Естественно, что такой путь решения задачи не обладает общностью. Поэтому необходимо развитие теоретических способов определения напряжений в телах сложной формы. Такая попытка сделана Г. Нейбером в работе [1] (1947), где содержится значительное число результатов, относящихся к решению плоских и пространственных задач теории упругости о распределении напряжений в местах резкого изменения геометрической формы нагруженной детали.

Задачи, связанные с определением напряженного состояния изотропных пластин, ослабленных отверстиями, при действии различных нагрузок описаны в [2], там же подробно изложены различные методы решения указанных задач. Приведены графики и таблицы, наглядно показывающие закономерности в напряженном состоянии многосвязных пластин. Изложены методы решения термоупругих, упругопластических и обратных задач теории упругости, определена концентрация напряжений в пластинах с вырезами и выступами.

Обширные сведения о коэффициентах концентрации напряжений в наиболее характерных элементах конструкций, широко распространенных в различных отраслях машиностроения (в ракетно-космической технике, авиа-, судо- и станкостроении и др.), приведены в [3]. Основную часть работы занимают графики, характеризующие зависимость коэффициентов концентрации напряжений в различных конструктивных элементах от геометрических параметров и значительно облегчающие проведение расчетов. Главное достоинство работы — ее практическая направленность.

Общий подход к решению задач о распределении напряжений в деталях машин изложен в [4]. Рассмотрены различные классы расчетных моделей деталей, показаны возможности использования интегральных оценок распределения напряжений при проектировании деталей. Рассмотрены задачи о распределении напряжений и деформаций в деталях машин в условиях упругости, пластичности и ползучести.

Функциональные возможности программы «КоКон», технология ее использования и рекомендация по применению описаны в [5]. Программа предназначена для специалистов-проектировщиков, обладающих минимальными навыками работы с компьютером.

Решение задачи о напряжениях в упругой пластине с эллиптическим отверстием, подкрепленным перемычкой, перманентно разрушающейся при росте нагрузки на краях пластины, получено в [6].

Задача об одноосном растяжении бесконечной пластины с эллиптическим отверстием в рамках линейной теории упругости рассмотрена в [7]. Предложен вариант асимптотической формулы для напряжений.

Модели и критерии механики разрушения тел с трещинами для анализа деформирования и разрушения тел с вырезами и надрезами рассмотрены в [8]. Приведены критериальные уравнения и соответствующие диаграммы трещиностойкости тел с вырезами, учитывающие изменение степени стеснения деформаций у вершины выреза в результате конечности радиуса скругления его вершины и несингулярной составляющей напряжений ( $T$ -напряжений). Представлены аналитические соотношения для расчета  $J$ -интеграла в случае тел с тупыми U- и острыми V-образными вырезами и надрезами при упругом и упругопластическом нагружении. Представлены возможности метода сепарабельных функций для экспериментального исследования упругопластической трещиностойкости нестандартных образцов с надрезами.

Выражения для напряженного состояния у вершины узкого U-образного выреза аналитически получены в [9] для схем нагружения *mode I*, *mode II* и *mode III* в линейной механике разрушения:

$$\begin{bmatrix} \sigma_x \\ \sigma_y \\ \tau_{xy} \end{bmatrix} = \frac{K_I}{\sqrt{2\pi}} r^{-1/2} \begin{bmatrix} \cos \frac{\theta}{2} \left( 1 - \sin \frac{\theta}{2} \sin \frac{3\theta}{2} \right) - \frac{\rho}{2r} \cos \frac{3\theta}{2} \\ \cos \frac{\theta}{2} \left( 1 + \sin \frac{\theta}{2} \sin \frac{3\theta}{2} \right) + \frac{\rho}{2r} \cos \frac{3\theta}{2} \\ \sin \frac{\theta}{2} \cos \frac{\theta}{2} \cos \frac{3\theta}{2} - \frac{\rho}{2r} \sin \frac{3\theta}{2} \end{bmatrix}; \quad (1)$$

$$\begin{bmatrix} \sigma_x \\ \sigma_y \\ \tau_{xy} \end{bmatrix} = \frac{K_{II}}{\sqrt{2\pi}} r^{-1/2} \begin{bmatrix} \sin \frac{\theta}{2} \left( 2 + \cos \frac{\theta}{2} \cos \frac{3\theta}{2} \right) + \frac{\rho}{2r} \sin \frac{3\theta}{2} \\ \sin \frac{\theta}{2} \cos \frac{\theta}{2} \cos \frac{3\theta}{2} - \frac{\rho}{2r} \sin \frac{3\theta}{2} \\ \cos \frac{\theta}{2} \left( 1 - \sin \frac{\theta}{2} \sin \frac{3\theta}{2} \right) - \frac{\rho}{2r} \cos \frac{3\theta}{2} \end{bmatrix}; \quad (2)$$

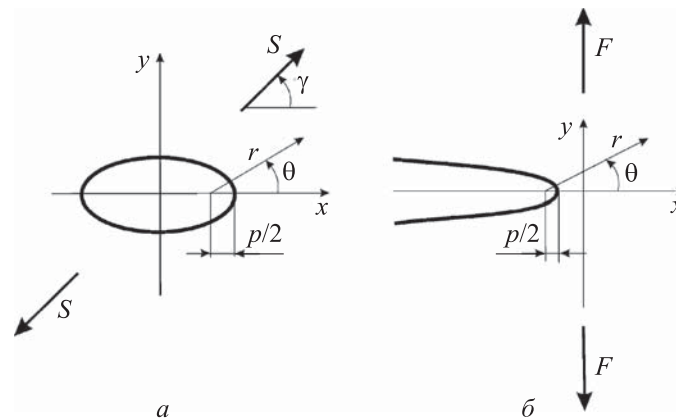
$$\begin{bmatrix} \tau_{xz} \\ \tau_{yz} \end{bmatrix} = \frac{K_{III}}{\sqrt{2\pi}} r^{-1/2} \begin{bmatrix} -\sin \frac{\theta}{2} \\ \cos \frac{\theta}{2} \end{bmatrix}. \quad (3)$$

Выражения (1)–(3) при  $\rho = 0$  представляют собой формулы для трещин Вестергарда — Ирвина. Эти формулы могут быть применимы, когда *a priori* известны коэффициенты интенсивности напряжений  $K_I$ ,  $K_{II}$  и  $K_{III}$

для того же тела с виртуальной трещиной, которая аналогична узкому U-образному вырезу по плоскостному расположению и размеру.

В схеме нагружения *mode III* при наличии достаточно малого радиуса  $\rho$  формула (3) совпадает с аналогичной формулой для острых трещин-разрезов, т. е. наличие незначительного радиуса  $\rho$  у вершины узкого U-образного выреза никак не влияет на напряженное состояние в рамках рассматриваемой концепции (радиус  $\rho$  достаточно мал). В связи с этим далее не предполагается никакой речи о схеме нагружения *mode III* с присутствующим малым радиусом  $\rho$ .

Схемы узких U-образных вырезов приведены на рисунке. Узкий U-образный вырез в теоретическом плане интересен тем, что в некоторых случаях вершина реальной трещины затупляется пластически до некоторого радиуса кривизны  $\rho$  прежде, чем начнется разрушение. По возможности, это следует учитывать. При хрупком разрушении, когда у вершины трещины предполагается существование весьма малой зоны предразрушения радиусом  $\rho$ , в силу сингулярности напряжений материал в этой зоне нельзя рассматривать как сплошную среду.



Схемы узких эллиптического отверстия (а) и гиперболического выреза (б) [9]

Начало полярной системы координат (см. рисунок) располагается на расстоянии  $\rho/2$  от дна выреза. Указанное расположение этой системы позволило в [9] получить асимптотические формулы (1)–(3) для напряжений (в индивидуальной декартовой системе координат, начало которой совпадает с началом полярной системы).

Для получения формул (1) и (2) автор работы [9] использовал комплексные функции  $\varphi(z)$  и  $\chi(z)$  для эллиптических отверстий, а также комплексные функции  $\varphi'(z)$  и  $\chi'(z)$  для гиперболических вырезов, взятые из [10]. Для эллиптического отверстия:

$$\begin{aligned} 4\varphi(z) &= Sc \left[ e^{2\xi_0} \cos 2\gamma \operatorname{ch} \zeta + (1 - e^{2\xi_0 + 2i\gamma}) \operatorname{sh} \zeta \right]; \\ 4\chi(z) &= -Sc^2 \left[ (\operatorname{ch} 2\xi_0 - \cos 2\gamma) \zeta + \frac{1}{2} e^{2\xi_0} \operatorname{ch} 2(\zeta - \xi_0 - i\gamma) \right], \end{aligned} \quad (4)$$

где  $S$  — внешняя нагрузка, приложенная под углом  $\gamma$  (см. рисунок *a*);  $c$ ,  $\xi_0$  — параметры эллиптического отверстия;  $\zeta = \xi + i\eta$ ,  $\xi$ ,  $\eta$  — эллиптические координаты.

Для гиперболического выреза (после некоторых преобразований):

$$\begin{aligned} \varphi'(z) &= \frac{iF}{2(\pi - 2\eta_0 + \sin 2\eta_0)c \operatorname{sh} \zeta}; \\ \chi'(z) &= \frac{iF \left[ \zeta + (1 - 2 \cos^2 \eta_0) \operatorname{cth} \zeta \right]}{2(\pi - 2\eta_0 + \sin 2\eta_0)}. \end{aligned}$$

Здесь  $F$  — внешняя нагрузка параллельно вертикальной оси  $y$  (см. рисунок *b*);  $c$ ,  $\eta_0$  — параметры гиперболического выреза.

Автор работы [9] рассматривал предельно узкие вырезы: эллиптическое отверстие и гиперболический вырез ( $\rho \rightarrow 0$ ). В связи с этим при рассмотрении приведенных выше комплексных функций он осуществлял предельные переходы с отбрасыванием членов высокой степени малости. Получен тождественный результат для эллиптического отверстия и гиперболического выреза [13, 14]:

для *mode I*

$$\begin{aligned} \varphi(z) &= \frac{K_I}{\sqrt{2\pi}} z^{1/2}; \\ \psi(z) &= \frac{K_I}{\sqrt{2\pi}} \left( \frac{1}{2} z^{1/2} - \rho z^{-1/2} \right), \end{aligned} \quad (5)$$

для *mode II*

$$\begin{aligned} \varphi(z) &= -i \frac{K_{II}}{\sqrt{2\pi}} z^{1/2}; \\ \psi(z) &= i \frac{K_{II}}{\sqrt{2\pi}} \left( \frac{3}{2} z^{1/2} + \rho z^{-1/2} \right). \end{aligned} \quad (6)$$

Из (5) и (6) следуют формулы (1) и (2), которые автор работы [9] и другие авторы использовали для прочностных исследований *blunt cracks* [11, 12].

**Теоретический анализ.** Далее с использованием сингулярных решений линейной механики разрушения выполнено исследование напряженно-деформированного состояния около вершины предельно узкого U-образного выреза в упругой постановке.

Использование (5) и (6) позволяет добавить к (1) и (2) формулы для перемещений  $u$  и  $v$  с помощью комплексных выражений Колосова [10] (для декартовой системы координат):

$$\begin{aligned}\sigma_x + \sigma_y &= 2 \left[ \varphi'(z) + \overline{\varphi'(\bar{z})} \right]; \\ \sigma_y - \sigma_x + 2i\tau_{xy} &= 2 \left[ \bar{z}\varphi''(z) + \psi'(z) \right]; \\ 2\mu(u + iv) &= \kappa\varphi(z) - z\overline{\varphi'(z)} - \overline{\psi'(z)}.\end{aligned}$$

Отсюда для схемы нагружения *mode I* выражения для перемещений имеют вид

$$\begin{bmatrix} 2\mu u \\ 2\mu v \end{bmatrix} = \frac{K_I}{\sqrt{2\pi}} r^{1/2} \begin{bmatrix} \left( \kappa - \frac{1}{2} \right) \cos \frac{\theta}{2} - \frac{1}{2} \cos \frac{3\theta}{2} + \frac{\rho}{r} \cos \frac{\theta}{2} \\ \left( \kappa + \frac{1}{2} \right) \sin \frac{\theta}{2} - \frac{1}{2} \sin \frac{3\theta}{2} + \frac{\rho}{r} \sin \frac{\theta}{2} \end{bmatrix},$$

для *mode II* —

$$\begin{bmatrix} 2\mu u \\ 2\mu v \end{bmatrix} = \frac{K_{II}}{\sqrt{2\pi}} r^{1/2} \begin{bmatrix} \left( \kappa + \frac{3}{2} \right) \sin \frac{\theta}{2} + \frac{1}{2} \sin \frac{3\theta}{2} - \frac{\rho}{r} \sin \frac{\theta}{2} \\ \left( -\kappa + \frac{3}{2} \right) \cos \frac{\theta}{2} - \frac{1}{2} \cos \frac{3\theta}{2} + \frac{\rho}{r} \cos \frac{\theta}{2} \end{bmatrix}.$$

Здесь  $\mu$  — модуль сдвига;  $\kappa$  — параметр, который находится по формуле  $\kappa = (3 - \nu)/(1 + \nu)$  для задачи о плоском напряженном состоянии и по формуле  $\kappa = (3 - 4\nu)$  для задачи о плоской деформации,  $\nu$  — коэффициент Пуассона. Таким образом, завершен полный набор асимптотических формул для описания напряженно-деформированного состояния у вершины узкого U-образного выреза (в декартовой системе координат).

Выпишем комплексные выражения Колосова [10] (для полярной системы координат), которые понадобятся далее:

$$\begin{aligned}\sigma_r + \sigma_\theta &= 2 \left[ \varphi'(z) + \overline{\varphi'(\bar{z})} \right]; \\ \sigma_\theta - \sigma_r + 2i\tau_{r\theta} &= 2e^{2i\theta} \left[ \bar{z}\varphi''(z) + \psi'(z) \right]; \\ 2\mu(u_r + iu_\theta) &= e^{i\theta} \left[ \kappa\varphi(z) - z\overline{\varphi'(z)} - \overline{\psi'(z)} \right].\end{aligned}\tag{7}$$

Используя (7), формулы для напряжений и перемещений в полярной системе координат для суммы схем нагружения *mode I* и *mode II* можно представить в виде:

$$\begin{aligned}
\begin{bmatrix} \sigma_r \\ \sigma_\theta \\ \tau_{r\theta} \end{bmatrix} &= \frac{1}{2} \frac{K_I}{\sqrt{2\pi}} r^{-1/2} \begin{bmatrix} \frac{1}{2} \left( 5 \cos \frac{\theta}{2} - \cos \frac{3\theta}{2} \right) - \frac{\rho}{r} \cos \frac{3\theta}{2} \\ \frac{1}{2} \left( 3 \cos \frac{\theta}{2} + \cos \frac{3\theta}{2} \right) + \frac{\rho}{r} \cos \frac{3\theta}{2} \\ \frac{1}{2} \left( \sin \frac{\theta}{2} + \sin \frac{3\theta}{2} \right) + \frac{\rho}{r} \sin \frac{3\theta}{2} \end{bmatrix} + \\
&+ \frac{1}{2} \frac{K_{II}}{\sqrt{2\pi}} r^{-1/2} \begin{bmatrix} \frac{1}{2} \left( -5 \sin \frac{\theta}{2} + 3 \sin \frac{3\theta}{2} \right) - \frac{\rho}{r} \sin \frac{3\theta}{2} \\ -\frac{3}{2} \left( \sin \frac{\theta}{2} + \sin \frac{3\theta}{2} \right) + \frac{\rho}{r} \sin \frac{3\theta}{2} \\ \frac{1}{2} \left( \cos \frac{\theta}{2} + 3 \cos \frac{3\theta}{2} \right) - \frac{\rho}{r} \cos \frac{3\theta}{2} \end{bmatrix}; \quad (8) \\
\begin{bmatrix} 2\mu u_r \\ 2\mu u_\theta \end{bmatrix} &= \frac{K_I}{\sqrt{2\pi}} r^{1/2} \begin{bmatrix} (\kappa - 1) \cos \frac{\theta}{2} - \frac{1}{2} \cos \frac{3\theta}{2} + \frac{\rho}{r} \cos \frac{\theta}{2} \\ -\left( \kappa + \frac{1}{2} \right) \sin \frac{\theta}{2} - \frac{1}{2} \sin \frac{3\theta}{2} - \frac{\rho}{r} \sin \frac{\theta}{2} \end{bmatrix} + \\
&+ \frac{K_{II}}{\sqrt{2\pi}} r^{1/2} \begin{bmatrix} -\left( \kappa - \frac{1}{2} \right) \sin \frac{\theta}{2} + \frac{3}{2} \sin \frac{3\theta}{2} + \frac{\rho}{r} \sin \frac{\theta}{2} \\ -\left( \kappa + \frac{1}{2} \right) \cos \frac{\theta}{2} + \frac{3}{2} \cos \frac{3\theta}{2} + \frac{\rho}{r} \cos \frac{\theta}{2} \end{bmatrix}. \quad (9)
\end{aligned}$$

Представим (8) и (9) в более простом и удобном для дальнейших преобразований виде:

$$\begin{aligned}
\begin{bmatrix} \sigma_r \\ \sigma_\theta \\ \tau_{r\theta} \end{bmatrix} &= \frac{1}{2} \frac{K_I}{\sqrt{2\pi}} r^{-1/2} \begin{bmatrix} A_1 \\ B_1 \\ D_1 \end{bmatrix} + \frac{1}{2} \frac{K_{II}}{\sqrt{2\pi}} r^{-1/2} \begin{bmatrix} A_2 \\ B_2 \\ D_2 \end{bmatrix}; \\
\begin{bmatrix} 2\mu u_r \\ 2\mu u_\theta \end{bmatrix} &= \frac{K_I}{\sqrt{2\pi}} r^{1/2} \begin{bmatrix} E_1 \\ F_1 \end{bmatrix} + \frac{K_{II}}{\sqrt{2\pi}} r^{1/2} \begin{bmatrix} E_2 \\ F_2 \end{bmatrix},
\end{aligned}$$

где  $A_1, A_2, B_1, B_2, D_1, D_2, E_1, E_2, F_1, F_2$  — переменные параметры, которые определяются сравнением последних формул с формулами (8) и (9).

**Плотность энергии деформации.** Наличие радиуса  $\rho$  у вершины выреза (хотя и очень малого) с позиции теории упругости вносит существенное изменение в напряженно-деформированное состояние. В этом случае по сравнению с абсолютно острой трещиной сингулярность напряжений пропадает. Напряжения становятся конечными, причем с другими законами развития. Следовательно, применять напрямую коэффициенты интенсивности напряжений  $K_I$  и  $K_{II}$  для оценки напряженно-деформированного состояния у вершины узкого U-образного выреза некорректно. Оставаясь на позициях линейной механики разруше-

ния, в работе предлагается оценивать напряженно-деформированное состояние у вершины рассматриваемого узкого U-образного выреза через два критерия плотности энергии упругой деформации  $W_\sigma$  и  $W_\tau$ .

Критерии плотности энергии деформации  $W_\sigma$  и  $W_\tau$  в полярной системе координат (по аналогии с теми же критериями для трещин-разрезов [15]) представим как

$$W_\sigma = \frac{1}{2} \left[ \sigma_r \frac{\partial u_r}{\partial r} + \sigma_\theta \left( \frac{u_r}{r} + \frac{1}{r} \frac{\partial u_\theta}{\partial \theta} \right) \right] = \frac{1}{r} (C_1^2 a_{11\sigma} + C_1 C_2 a_{12\sigma} + C_2^2 a_{22\sigma}); \quad (10)$$

$$W_\tau = \frac{1}{2} \tau_{r\theta} \left( \frac{1}{r} \frac{\partial u_r}{\partial \theta} + \frac{\partial u_\theta}{\partial r} - \frac{u_\theta}{r} \right) = \frac{1}{r} (C_1^2 a_{11\tau} + C_1 C_2 a_{12\tau} + C_2^2 a_{22\tau}). \quad (11)$$

Здесь для упрощения записи введены обозначения

$$C_1 = \frac{K_I}{\sqrt{2\pi}}; \quad C_2 = \frac{K_{II}}{\sqrt{2\pi}}.$$

После преобразований (10) и (11) можно получить выражения

$$\begin{bmatrix} a_{11\sigma} \\ a_{12\sigma} \\ a_{22\sigma} \end{bmatrix} = \frac{1}{8\mu} \begin{bmatrix} \frac{1}{2} A_1 E_1 + B_1 (E_1 + F_1') \\ \frac{1}{2} (A_1 E_2 + A_2 E_1) + B_1 (E_2 + F_2') + B_2 (E_1 + F_1') \\ \frac{1}{2} A_2 E_2 + B_2 (E_2 + F_2') \end{bmatrix};$$

$$\begin{bmatrix} a_{11\tau} \\ a_{12\tau} \\ a_{22\tau} \end{bmatrix} = \frac{1}{8\mu} \begin{bmatrix} D_1 \left( E_1' - \frac{1}{2} F_1 \right) \\ D_1 \left( E_2' - \frac{1}{2} F_2 \right) + D_2 \left( E_1' - \frac{1}{2} F_1 \right) \\ D_2 \left( E_2' - \frac{1}{2} F_2 \right) \end{bmatrix},$$

где  $E_1', E_2', F_1', F_2'$  — величины, представляющие собой проинтегрированные по  $\theta$  функции  $E_1, E_2, F_1, F_2$ .

Основываясь на гипотезе Бельтрами, будем полагать, что разрушение в точке с координатой  $\theta_{cr}$  в поверхностном слое на контуре вершины узкого U-образного выреза происходит тогда, когда плотности энергии деформации  $W_\sigma$  или  $W_\tau$  равны или больше своих критических значений:  $W_\sigma \geq W_{\sigma cr}$  или  $W_\tau \geq W_{\tau cr}$ .

**Примечание.** Согласно [9], в эллиптических координатах плотность энергии деформации  $W_\sigma$  в поверхностном слое вершины выреза можно представить как  $W_\sigma = (1/2) \sigma_\eta \varepsilon_\eta$ , где  $\sigma_\eta = \sigma_r + \sigma_\theta$  и  $\varepsilon_\eta = \left( (1 - \nu^2) / E \right) \sigma_\eta$  (плоская деформация). Если не учитывать деформационные свойства материала (т. е. деформацию  $\varepsilon_\eta$ ), то фактически имеет место критерий максимального напряжения  $\sigma_\eta$  [15].



Эпюры плотностей энергии деформации  $W_\sigma$  и  $W_\tau$  на кромках вершины узкого U-образного выреза для различных схем нагружения приведены в табл. 1.

Таблица 1

Сравнение эпюр плотностей энергии деформации  $W_\sigma$  и  $W_\tau$  при различных схемах нагружения на кромке и внутри плоского тела с узким U-вырезом

Параметр интенсивности напряжений	$W_\sigma = \frac{1}{2}(\sigma_r \varepsilon_r + \sigma_\theta \varepsilon_\theta)$	$W_\tau = \frac{1}{2} \tau_{r\theta} \gamma_{r\theta}$
$C_1 = 1$	Схема mode I	
$C_2 = 1$	Схема mode II	
$C_1 = 1$ $C_2 = 1$		

Эпюры построены для задачи плоской деформации при следующих условных исходных данных: модуль сдвига  $\mu = 0,4$ , коэффициент Пуассона  $\nu = 0,25$ . Параметры интенсивности напряжений

$$C_1 = \frac{K_I}{\sqrt{2\pi}} = 1, \quad C_2 = \frac{K_{II}}{\sqrt{2\pi}} = 1,$$

где  $K_I, K_{II}$  — параметры, рассматриваемые как нагрузочные.

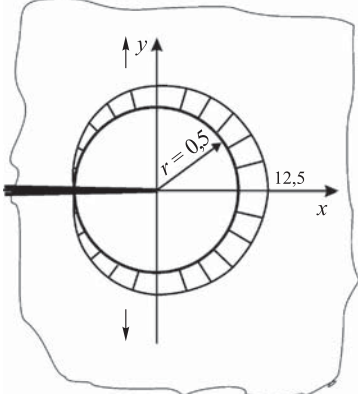
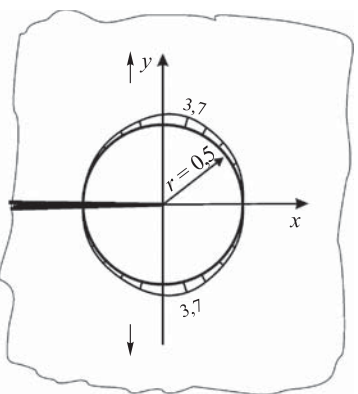
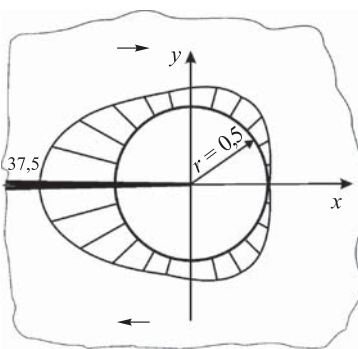
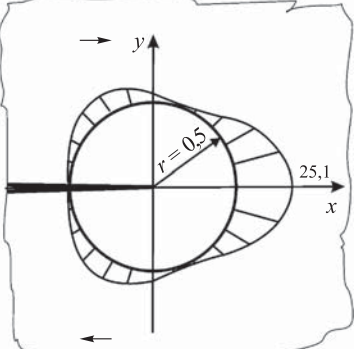
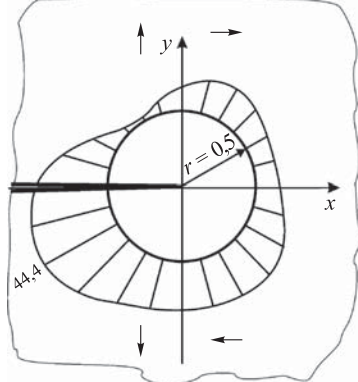
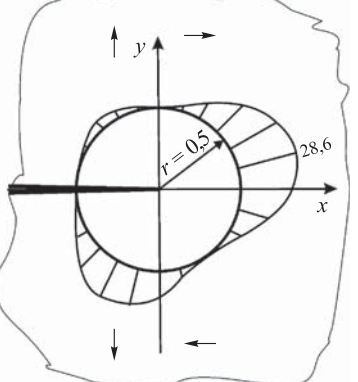
Радиус вершины узкого U-образного выреза  $\rho = 1$ . Для нормального разрыва (*mode I*) максимальная плотность энергии деформации  $W_\sigma$  наблюдается для точки контура в направлении  $\theta = 0$ . Это направление возможного разрушения хрупкого материала не вызывает сомнений ни с позиции теории, ни с позиции практики. Для поперечного сдвига (*mode II*) максимальная плотность энергии деформации  $W_\tau$  наблюдается на кромке при  $\theta = \pm 90,2^\circ$ , и в критическом случае разрушение начнется за счет сдвига (скола).

Кроме эпюр  $W_\sigma$  и  $W_\tau$  на контуре у вершины узкого U-образного выреза, в табл. 1 для сравнительных целей приведены эпюры плотностей энергии деформации, которые имеют место на небольшой глубине (в частности,  $r = 1$ ) от вершины. Есть похожие картины, но есть и отличия в связи с разными исходными геометрическими факторами.

Качественные трансформации, происходящие с эпюрами плотности энергии деформации при  $\rho = 0$ , показаны в табл. 2 (т. е. когда радиус  $\rho$  настолько мал, то можно полагать, что имеем дело с классической трещиной-разрезом). В таблицах в изображениях соответствующих эпюр можно найти приблизительно похожие картины. Кроме типовых схем нагружения (*mode I* или *mode II*), для сравнительных целей показаны несколько усложненные схемы нагружения (*mode I + mode II*). При этом также можно найти достаточно похожие картины эпюр плотности энергии деформации.

Следует отметить, что при рассмотрении эпюр, приведенных в табл. 1 и 2, при коэффициенте интенсивности  $K_I$  могут рассматриваться вероятные разрушения не только отрывом, но и сдвигом (сколом). При коэффициенте интенсивности напряжений  $K_{II}$  могут рассматриваться вероятные разрушения не только за счет сдвига (скола), но и отрыва. Такое разнообразие картин разрушения связано с тем, что здесь рассмотрены два отдельных независимых критерия разрушения  $W_\sigma$  и  $W_\tau$  вместо одного  $W = W_\sigma + W_\tau$ , как в [16].

Сравнение эюр плотностей энергии деформации  $W_\sigma$  и  $W_\tau$  при различных схемах нагружения трещины-разреза ( $\rho = 0$ )

Параметр интенсивности напряжений	$W_\sigma = \frac{1}{2}(\sigma_r \varepsilon_r + \sigma_\theta \varepsilon_\theta)$	$W_\tau = \frac{1}{2} \tau_{r\theta} \gamma_{r\theta}$
$C_1 = 1$	Схема mode I	
		
$C_2 = 1$	Схема mode II	
		
$C_1 = 1$ $C_2 = 1$	Схема mode I + mode II	
		

**Точность полученных асимптотических формул.** Установим точность формул, например, для плотности энергии деформации  $W_{\sigma}$  у вершины узкого U-образного выреза (см. [13, 14]). В качестве объекта исследования выберем схему *mode I* и направление  $\theta = 0$ , где  $r = \rho/2$  (кромка U-образного выреза). Сравним точные решения, полученные по формуле

$$W_{\sigma} = \frac{1}{2}(\sigma_x \varepsilon_x + \sigma_y \varepsilon_y), \quad (12)$$

и асимптотические, полученные из (10) и представленные формулой

$$W_{\sigma} = \frac{1}{8\mu} \frac{1}{r} S^2 \frac{a}{2} \left[ 2(\kappa - 1) + \left( \frac{\rho}{r} \right)^2 \right]. \quad (13)$$

Для (12) точные значения для  $\sigma_x$  и  $\sigma_y$  рассчитывались на основе комплексных выражений (4). Точные значения деформаций  $\varepsilon_x$  и  $\varepsilon_y$  определялись из обобщенного закона Гука для плоской деформации.

Относительная погрешность определялась для двух вариантов исходных данных эллиптического отверстия: 1)  $\rho = 0,1$ ; 2)  $\rho = 1$ . В обоих вариантах условно принимались следующие значения: внешняя нагрузка  $S = 1$ ; модуль сдвига  $\mu = 1$ ; большая полуось эллиптического отверстия  $a = 100$ ; коэффициент Пуассона  $\nu = 0,3$ . Характеристика эллипса определялась по формуле  $\xi_0 = \text{ch}^{-1} \frac{a}{a - \rho}$ .

Для варианта 1 относительная погрешность равна  $-3\%$ , для второго варианта  $-10\%$ . Во многих случаях это вполне применимо для практического использования асимптотической формулы (10).

**Заключение.** Представлены исследования напряженно-деформированного состояния у вершины узкого U-образного выреза на основе комплексных функций  $\varphi(z)$  и  $\psi(z)$  с позиции линейной механики разрушения. Приведены полные наборы асимптотических формул для напряжений и перемещений, выражения для плотности энергии деформации  $W_{\sigma}$  и  $W_{\tau}$  у кромки вершины эллиптического выреза через коэффициенты интенсивности напряжений  $K_I$  для схемы *mode I* и  $K_{II}$  для схемы *mode II*. На основе гипотезы Бельтрами предположено, что начальное трещинообразование в вершине эллиптического или гиперболического выреза происходит, когда плотность энергии деформации  $W_{\sigma}$  или  $W_{\tau}$  в поверхностном слое при некоторой координате  $\theta$  достигает критического значения  $W_{\sigma cr}$  или  $W_{\tau cr}$ . Показано, что с уменьшением радиуса  $\rho$  асимптотические решения для плотности энергии деформации у верши-

ны U-образного выреза становятся все более точными. Это также характеризует точность представленных асимптотических формул для напряжений и перемещений.

## ЛИТЕРАТУРА

- [1] Нейбер Г. Концентрация напряжений. М., Л., Гостехиздат, 1947.
- [2] Космодианский А.С. Плоская задача теории упругости для пластин с отверстиями, вырезами и выступами. Киев, Вища школа, 1975.
- [3] Петерсон Р. Коэффициенты концентрации напряжений. М., Мир, 1977.
- [4] Иосилевич Г.Б. Концентрация напряжений и деформаций в деталях машин. М., Машиностроение, 1981.
- [5] Гиренко С.Н., Криксунов Э.З., Перельмутер М.А. КоКон. Определение коэффициентов концентрации напряжений и коэффициентов интенсивности напряжений. М., SCAD Soft, 2005.
- [6] Тарабрин Г.Т., Левцанова Л.Л. Разрушение перемычки эллиптического отверстия в пластине. *Известия высших учебных заведений. Машиностроение*, 2007, № 6, с. 3–7.
- [7] Максимов А.В. Исследование напряженного состояния при одноосном растяжении плоскости с эллиптическим отверстием. *Вестник ТулГУ. Математика, механика, информатика*, 2008, т. 14, № 2, с. 105–114.
- [8] Матвиенко Ю.Г. Подходы механики разрушения в анализе деформирования и разрушения тел с вырезами и надрезами. *Проблемы машиностроения и надежности машин*, 2008, № 5, с. 64–72.
- [9] Creager M. The elastic stress field near the tip of a blunt crack. Master's Thesis. Lehigh Univ., 1966.
- [10] Тимошенко С.П., Гудьер Дж. Теория упругости. М., Наука, 1979.
- [11] Creager M., Paris P.C. Elastic field equations for blunt cracks with reference to stress corrosion cracking. *Int. J. Fract. Mech.*, 1967, vol. 3, no. 4, pp. 247–252.  
DOI: <https://doi.org/10.1007/BF00182890>
- [12] Heckel K., Wagner R. The tensile fatigue behavior of CT-specimens with small notch root radius. *Int. J. Fract.*, 1975, vol. 11, no. 1, pp. 135–140.  
DOI: <https://doi.org/10.1007/BF00034720>
- [13] Овчаренко Ю.Н. Упругое напряженно-деформированное состояние и плотность энергии деформации у вершины предельно узких U-вырезов. *Известия ТулГУ. Естественные науки*, 2010, № 2, с. 97–108.
- [14] Овчаренко Ю.Н. Напряженно-деформированное состояние и плотность энергии деформации в вершине предельно узких U-вырезов. *Известия ТулГУ. Технические науки*, 2013, № 10, с. 78–90.
- [15] Овчаренко Ю.Н. К теории (концепции) разрушения «локальная плотность энергии деформации». *Известия ТулГУ. Естественные науки*, 2014, № 4, с. 80–92.

[16] Sih G.C. Strain energy density and surface layer energy for blunt cracks or notches. In: *Mechanics of Fracture Initiation and Propagation. Engineering Applications of Fracture Mechanics*, vol. 11. Dordrecht, Springer, 1991, pp. 126–181.

DOI: [https://doi.org/10.1007/978-94-011-3734-8\\_5](https://doi.org/10.1007/978-94-011-3734-8_5)

**Овчаренко Юрий Николаевич** — канд. техн. наук, доцент кафедры «Сварка, литье и технология конструкционных материалов» ТулГУ (Российская Федерация, 300012, Тула, Ленина пр-т, д. 92).

**Просьба ссылаться на эту статью следующим образом:**

Овчаренко Ю.Н. Теория узких U-образных вырезов в линейной механике разрушения. *Вестник МГТУ им. Н.Э. Баумана. Сер. Естественные науки*, 2021, № 1 (94), с. 57–72. DOI: <https://doi.org/10.18698/1812-3368-2021-1-57-72>

## THEORY OF NARROW U-SHAPED NOTCHES IN LINEAR FRACTURE MECHANICS

**Yu.N. Ovcharenko**

[ovcharenkos@rambler.ru](mailto:ovcharenkos@rambler.ru)

**Tula State University, Tula, Russian Federation**

### Abstract

On the basis of linear fracture mechanics, a complete set of asymptotic formulas is obtained to describe the stress-strain state at the top of a narrow U-shaped notch. This type of defect can be possessed by a crack that has undergone a corrosive effect of the environment, or there can be a crack-like defect in a welded joint, e.g. lack of penetration, undercut, or a narrow slot in the part. To comparatively assess the risk of cracking at the tops of narrow U-shaped notches, and identify the places and directions of fracture initiation, we reveal the possibility of using such energy criteria as the deformation energy density  $W_{\sigma}$  and  $W_{\tau}$ . The previously indicated criteria were proposed by the author of this work for classical cracks-cuts. The purpose of this work was to study, on the basis of singular solutions of linear fracture mechanics, the stress-strain state in terms  $W_{\sigma}$  and  $W_{\tau}$  near the tops of extremely narrow U-shaped notches, i.e., *blunt cracks*, in comparison with classical cracks-cuts

### Keywords

*Linear fracture mechanics, narrow U-shaped notch, strain energy density, mode I, mode II*

Received 29.03.2019

Accepted 08.10.2020

© Author(s), 2021

## REFERENCES

[1] Neyber G. *Kontsentratsiya napryazheniy [Stress concentration]*. Moscow, Leningrad, Gostekhizdat Publ., 1947.

- [2] Kosmodianskiy A.S. Ploskaya zadacha teorii uprugosti dlya plastin s otverstiyami, vyrezami i vystupami [Plane elastic problem for perforated notched lugged plate]. Kiev, Vishcha shkola Publ., 1975.
- [3] Peterson R.E. Stress concentration factors. Wiley, 1953.
- [4] Iosilevich G.B. Kontsentratsiya napryazheniy i deformatsiy v detalyakh mashin [Stress and deformation concentration in machine parts]. Moscow, Mashinostroenie Publ., 1981.
- [5] Girenko S.N., Kriksunov E.Z., Perel'muter M.A. KoKon. Opredelenie koeffitsientov kontsentratsii napryazheniy i koeffitsientov intensivnosti napryazheniy [KoKon. Determination of stress concentration factors and stress intensity factors]. Moscow, SCAD Soft Publ., 2005.
- [6] Tarabrin G.T., Levshchanova L.L. Bypass destruction of an elliptic hole in a plate. *Izvestiya vysshikh uchebnykh zavedeniy. Mashinostroenie* [Proceedings of Higher Educational Institutions. Machine Building], 2007, no. 6, pp. 3–7 (in Russ.).
- [7] Maksimov A.V. Study on stress state of a plane with elliptic hole under one-axial strain. *Vestnik TulGU. Matematika, mekhanika, informatika*, 2008, vol. 14, no. 2, pp. 105–114 (in Russ.).
- [8] Matvienko Yu.G. Fracture mechanics approaches in the analysis of strains and fractures of bodies with notches and scotches. *J. Mach. Manuf. Reliab.*, 2008, vol. 37, no. 5, pp. 469–475. DOI: <https://doi.org/10.3103/S1052618808050105>
- [9] Creager M. The elastic stress field near the tip of a blunt crack. Master's Thesis. Lehigh Univ., 1966.
- [10] Goodier J.N., Timoshenko S.P. Theory of elasticity. McGraw-Hill, 1970.
- [11] Creager M., Paris P.C. Elastic field equations for blunt cracks with reference to stress corrosion cracking. *Int. J. Fract. Mech.*, 1967, vol. 3, no. 4, pp. 247–252. DOI: <https://doi.org/10.1007/BF00182890>
- [12] Heckel K., Wagner R. The tensile fatigue behavior of CT-specimens with small notch root radius. *Int. J. Fract.*, 1975, vol. 11, no. 1, pp. 135–140. DOI: <https://doi.org/10.1007/BF00034720>
- [13] Ovcharenko Yu.N. Elastic stress-strain state and deformation power density at the top of extremely thin U-notches. *Izvestiya TulGU. Estestvennyye nauki* [News of the Tula State University. Natural Sciences], 2010, no. 2, pp. 97–108 (in Russ.).
- [14] Ovcharenko Yu.N. The elastic stress-deformed conditions and density of energy of deformation at top extremely narrow U-notches. *Izvestiya TulGU. Tekhnicheskie nauki* [News of the Tula State University. Technical Sciences], 2013, no. 10, pp. 78–90 (in Russ.).
- [15] Ovcharenko Yu.N. To deformation theory (conception) “local density of deformation power”. *Izvestiya TulGU. Estestvennyye nauki* [News of the Tula State University. Natural Sciences], 2014, no. 4, pp. 80–92 (in Russ.).
- [16] Sih G.C. Strain energy density and surface layer energy for blunt cracks or notches. In: *Mechanics of Fracture Initiation and Propagation. Engineering Applications of Fracture Mechanics*, vol. 11. Dordrecht, Springer, 1991, pp. 126–181. DOI: [https://doi.org/10.1007/978-94-011-3734-8\\_5](https://doi.org/10.1007/978-94-011-3734-8_5)

**Ovcharenko Yu.N.** — Cand. Sc. (Eng.), Assoc. Professor, Department of the Welding, Casting and Technology of Structural Materials, Tula State University (Lenina prospekt 92, Tula, 300012 Russian Federation).

**Please cite this article in English as:**

Ovcharenko Yu.N. Theory of narrow U-shaped notches in linear fracture mechanics. *Herald of the Bauman Moscow State Technical University, Series Natural Sciences*, 2021, no. 1 (94), pp. 57–72 (in Russ.). DOI: <https://doi.org/10.18698/1812-3368-2021-1-57-72>



В Издательстве МГТУ им. Н.Э. Баумана  
вышла в свет монография авторов  
**И.В. Фомина, С.В. Червона, А.Н. Морозова**

**«Гравитационные волны  
ранней Вселенной»**

Рассмотрены применение скалярных полей в космологии и методы построения моделей ранней Вселенной на основе их динамики. Выполнен анализ динамики Вселенной на различных стадиях ее эволюции. Проведен расчет параметров космологических возмущений. Представлены методы верификации инфляционных моделей и новые методы детектирования гравитационных волн.

**По вопросам приобретения обращайтесь:**  
105005, Москва, 2-я Бауманская ул., д. 5, стр. 1  
+7 (499) 263-60-45  
[press@bmstu.ru](mailto:press@bmstu.ru)  
<https://bmstu.press>